

Тестирование по оптике №2

Составили: **Авдеев Михаил** (202), **Пригорный Игорь** (210), 2018 г.

Раздел 1. Дифракция Френеля – 1.

Говорят, что радиус отверстия r равен радиусу m -й зоны Френеля r_m , если разность хода Δ , соответствующая этому радиусу, составляет m длин полуволн $\lambda/2$ (или $2m$ длин волн). Таким образом, записывая из геометрических соображений выражение для Δ и записывая условие максимума, находим внешний радиус m -ой зоны Френеля:

$$r_m = \sqrt{m\lambda \frac{ab}{a+b}}$$

В случае нормально падающей плоской волны, переходим к $a \rightarrow \infty$:

$$r_m = \sqrt{m\lambda b}$$

При достаточно малых m площади зон Френеля равны:

$$\Delta S = \pi r_m^2 - \pi r_{m-1}^2 = \pi \lambda \frac{ab}{a+b}$$

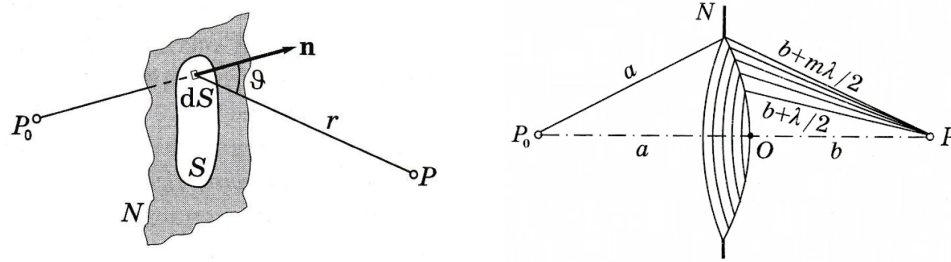


Рис. 1. Дифракция Френеля на круглом отверстии. К расчёту результирующего колебания (слева) и к определению числа зон Френеля (справа).

1.1 На непрозрачный экран с круглым отверстием радиуса R падает плоская монохроматическая электромагнитная волна с длиной волны λ . Для находящейся на оси точки наблюдения P отверстие открывает первые N зон Френеля. Как изменится число открытых зон при одновременном увеличении радиуса в 2 раза и уменьшении длины волны в 4 раза?

$$m_2 : m_1 = \frac{r_2^2}{\lambda_2 b} : \frac{r_1^2}{\lambda_1 b} = \frac{r_2^2}{r_1^2} \frac{\lambda_1}{\lambda_2} = \frac{4R^2}{R^2} \frac{\lambda}{\lambda/4} = 16$$

Ответ: число открытых зон увеличится в 16 раз.

Раздел 2. Дифракция Френеля – 2.

Пусть на преграду N с некоторым отверстием S проходит свет от точечного монохроматического источника P_0 . Результирующее колебание в произвольной точке P может быть выражено через интеграл Френеля-Кирхгофа:

$$E(P) = -\frac{i}{\lambda} \iint_S E(x, y, z) \frac{e^{ikr}}{r} \cos \theta dx dy$$

В простейших случаях интегрирование может быть заменено алгебраическим или графическим сложением. Разбивая волновую поверхность на зоны Френеля, результирующее колебание \vec{E} находят как сумму элементарных векторов $d\vec{E}$, образующих спираль Френеля. Суть метода хорошо иллюстрируют следующие задачи:

2.1 Используя спираль Френеля, получить формулу зависимости интенсивности в центре картины при дифракции на круглом отверстии от числа m открытых зон Френеля.

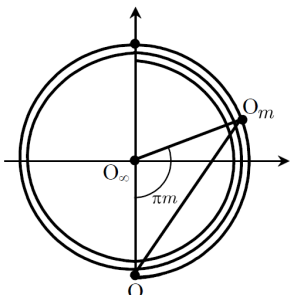


Рис. 2. Спираль Френеля.

Изобразим спираль Френеля и возьмем на ней произвольную точку O_m . Угол $\angle O O_\infty O_m$ равен πm (на рисунке $m < 1$). Треугольник $\triangle O O_\infty O_m$ равнобедренный, его стороны $O O_\infty$ и $O_\infty O_m$ одинаковы и равны E_0 , где E_0 – амплитуда в отсутствие препятствия. Сторона $O O_m$ и есть искомая амплитуда E . Применяя теорему косинусов, получаем:

$$O O_m^2 = O O_\infty^2 + O_\infty O_m^2 - 2 \cdot O O_\infty \cdot O_\infty O_m \cos \pi m$$

$$E^2 = E_0^2 + E_0^2 - 2E_0^2 \cos \pi m$$

$$I = E^2 = 2E_0^2(1 - \cos \pi m) = 2I_0(1 - \cos \pi m)$$

Ответ: $I = 2I_0(1 - \cos \pi m)$. Это важный результат, запомним его.

2.2 На диск радиуса $R_d = 1$ мм с отверстием $R_o = 0,5$ мм падает плоская монохроматическая волна длиной $\lambda = 0,5$ мкм с интенсивностью I_0 . Найти интенсивность света на расстояние $b = 1$ м за диском с отверстием.

Найдём число зон Френеля для диска и его отверстия:

$$R_d^2 = m_d \lambda b \Rightarrow (1 \text{ мм})^2 = m_d \cdot 0,5 \text{ мкм} \cdot 1 \text{ м} \Rightarrow m_d = 2$$

$$R_o^2 = m_o \lambda b \Rightarrow (0,5 \text{ мм})^2 = m_o \cdot 0,5 \text{ мкм} \cdot 1 \text{ м} \Rightarrow m_o = 1/2$$

Отсчитываем точки O_2 и $O_{1/2}$ на спирали Френеля (от нуля против часовой стрелки):

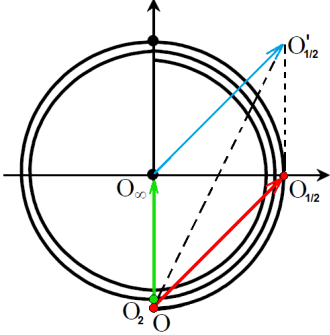


Рис. 3. Спираль Френеля.

Пусть $OO_\infty = E_0$, тогда $O_2O_\infty \approx OO_\infty = E_0$. По теореме Пифагора $OO_{1/2} = E_0\sqrt{2}$. Результирующая амплитуда $E = O_2O_\infty + OO_{1/2}$ (векторно). Перенесём параллельно вектор $OO_{1/2}$ на $O_\infty O'_{1/2}$ так, чтобы воспользоваться правилом треугольника для сложения векторов. Тогда $\angle O_2O_\infty O'_{1/2} = 135^\circ$. Применяя теорему косинусов, получаем:

$$OO_{1/2}^2 \approx O_2O_{1/2}^2 = O_2O_\infty^2 + O_\infty O'_{1/2}^2 - 2 \cdot O_2O_\infty \cdot O_\infty O'_{1/2} \cos 135^\circ$$

$$E^2 \approx E_0^2 + (E_0\sqrt{2})^2 + 2E_0^2\sqrt{2} \cdot \frac{\sqrt{2}}{2}$$

$$I = E^2 \approx 5E_0^2 = 5I_0$$

Ответ: $I = 5I_0$.

2.3 Между точечным источником S монохроматического света и точкой наблюдения P помещают непрозрачный экран с круглым отверстием (линия SP совпадает с осью отверстия и перпендикулярна экрану). При этом интенсивность света в точке не изменяется. Чему равно минимальное число открытых зон Френеля, при котором возможна подобная ситуация?

Как было показано в задаче 2.1, интенсивность в центре картины при дифракции на круглом отверстии выражается как:

$$I = 2I_0(1 - \cos \pi m)$$

Нам необходимо подобрать такое минимальное положительное m , чтобы интенсивность не изменялась, то есть:

$$I_0 = 2I_0(1 - \cos \pi m) \Rightarrow \cos \pi m = \frac{1}{2} \Rightarrow m = \pm \frac{1}{3} + 2k, k \in \mathbb{Z}_+ \Rightarrow m_{\min} = \frac{1}{3}$$

Ответ: $m_{\min} = \frac{1}{3}$.

Раздел 3. Дифракция Френеля – 3.

3.1 Плоская монохроматическая волна ($\lambda = 0,5$ мкм) падает нормально на стеклянный диск ($n = 1,5$) толщиной $b = 5,5$ мкм. На расстоянии $L = 10$ см от плоскости диска на его оси расположена точка наблюдения. При каком минимальном значении радиуса диска интенсивность в точке будет максимально возможной?

Пластика будет вносить дополнительную разность хода и разность фаз:

$$\Delta = (n - 1)b \quad \delta\varphi = k\Delta = \frac{2\pi}{\lambda}(n - 1)b$$

Дополнительная разность хода учитывается поворотом вектора OO_m против часовой стрелки вокруг O на $\delta\varphi$:

Результирующая амплитуда в случае отсутствия пластинки $E_0 = OO_\infty = OO_m + O_mO_\infty$, а в случае с пластинкой $E = OO'_m + O_mO_\infty$. Амплитуда будет максимальной, если OO'_m и O_mO_∞ будут сонаправлены, а вектор OO'_m будет максимален по модулю (второй $O_mO_\infty \approx OO_\infty = E_0$ постоянен). Причём $|OO'_m| = |OO_m|$. Выражение для интенсивности этого вектора уже было получено в задаче 2.1:

$$I = 2I_0(1 - \cos \pi m)$$

Максимум $I_{\max} = 4I_0$ достигается при $\cos \pi m = -1$, то есть при $m = 2k + 1$, $k \in \mathbb{Z}_+$. Вектор $OO'_m = -OO_m$, так как:

$$\delta\varphi = \frac{2\pi}{\lambda}(n - 1)b = \frac{2\pi}{0,5}(1,5 - 1) \cdot 5,5 = 11\pi \equiv \pi + 2\pi l, l \in \mathbb{Z}$$

$$r_{\min} = \sqrt{m\lambda L} = \sqrt{(2k + 1)\lambda L} = \sqrt{\lambda L} = \sqrt{0,5 \cdot 10^{-6} \cdot 0,1} \approx 223,6 \text{ мкм}$$

Ответ: $r_{\min} = \sqrt{\lambda L} \approx 223,6$ мкм.

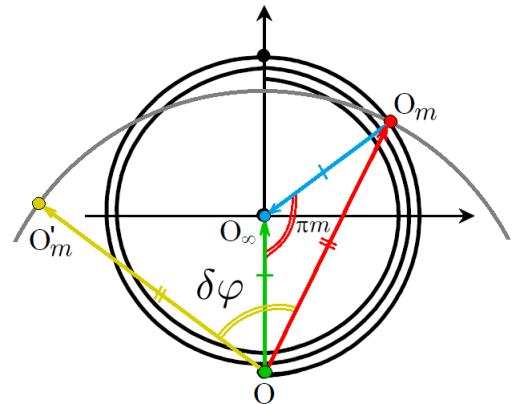


Рис. 4. Спираль Френеля.

3.2 Плоская монохроматическая волна ($\lambda = 0,5$ мкм) падает нормально на стеклянный диск ($n = 1,5$) толщиной $b = 5,5$ мкм. На расстоянии $L = 10$ см от плоскости диска на его оси расположена точка наблюдения. При каком минимальном значении радиуса диска интенсивность в точке будет минимально возможной?

Амплитуда будет минимальной, либо если OO'_m и O_mO_∞ будут противонаправлены, а вектор OO'_m будет близок к O_mO_∞ по модулю, либо если OO'_m и O_mO_∞ будут сонаправлены, а вектор OO'_m будет минимален по модулю¹. Так как $\delta\varphi \equiv \pi + 2\pi l$, $l \in \mathbb{Z}$ (см. задачу 3.1), то реализуется второй случай. Выражение для интенсивности $|OO'_m| = |OO_m|$ уже было получено в задаче 2.1:

$$I = 2I_0(1 - \cos \pi m)$$

Минимум $I_{\min} = 0$ достигается при $\cos \pi m = 1$, то есть при $m = 2k$, $k \in \mathbb{Z}_+$, тогда:

$$r_{\min} = \sqrt{m\lambda L} = \sqrt{(2k)\lambda L} = \sqrt{2\lambda L} = \sqrt{2 \cdot 0,5 \cdot 10^{-6} \cdot 0,1} \approx 316,2 \text{ мкм}$$

Ответ: $r_{\min} = \sqrt{2\lambda L} \approx 316,2$ мкм.

Раздел 4. Дифракция Фраунгофера – 1.

Выражение для интенсивности на решётке с периодом d , шириной щели b и числом щелей N :

$$I(\sin \varphi) = Cb^2 \text{sinc}^2 \left(\frac{kb \sin \varphi}{2} \right) \left(\frac{\sin \left(N \frac{kd \sin \varphi}{2} \right)}{\sin \left(\frac{kd \sin \varphi}{2} \right)} \right)^2$$

Главные дифракционные минимумы наблюдаются при:

$$\sin \varphi = \frac{\lambda}{b}; 2\frac{\lambda}{b}; 3\frac{\lambda}{b}; \dots$$

Главные интерференционные максимумы наблюдаются при:

$$\sin \varphi = 0; \frac{\lambda}{d}; 2\frac{\lambda}{d}; 3\frac{\lambda}{d}; \dots$$

Добавочные интерференционные минимумы наблюдаются при:

$$\sin \varphi = \frac{\lambda}{Nd}; 2\frac{\lambda}{Nd}; \dots; (N-1)\frac{\lambda}{Nd}; (N+1)\frac{\lambda}{Nd}; \dots; (2N-1)\frac{\lambda}{Nd}; (2N+1)\frac{\lambda}{Nd}; \dots$$

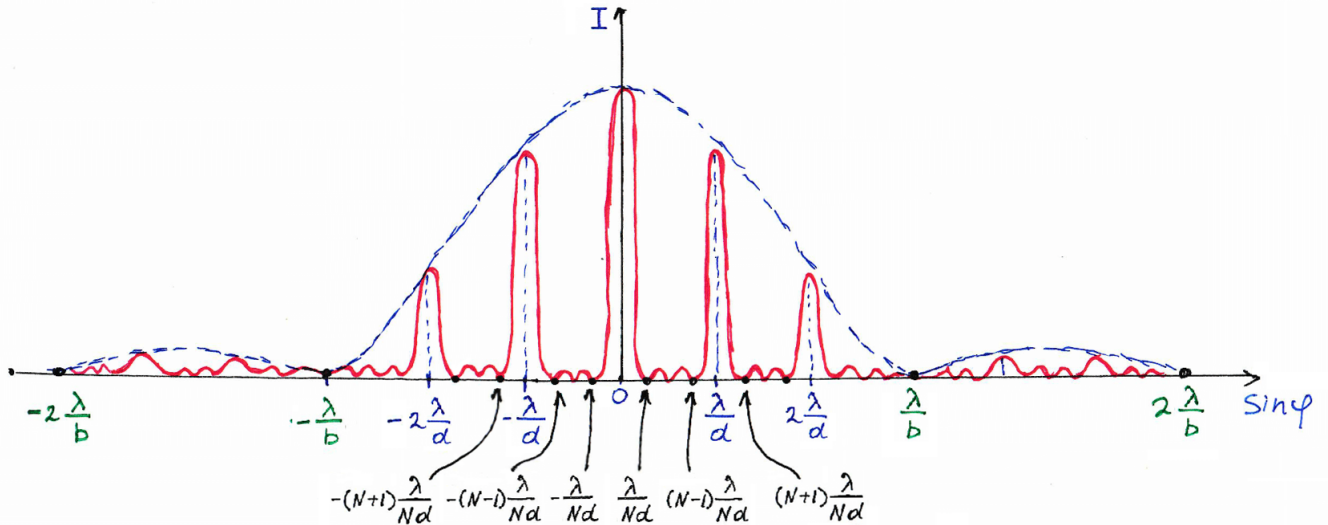


Рис. 5. Зависимость интенсивности в дифракционной картине на решётке в приближении Фраунгофера (картина для $N = 4$ щелей).

Также стоит отметить, что при N щелях между главными интерференционными максимумами получаем $N - 1$ добавочных минимумов и $N - 2$ добавочных максимумов.

Переходя к $\varphi \rightarrow 0$, будем иметь выражение для интенсивности в центре дифракционной картины:

$$I(0) = Cb^2 N^2$$

¹Вообще говоря, всё зависит от модулей векторов и угла между ними. Модуль вектора $|O_mO_\infty| \approx |OO_\infty| = E_0$ постоянен, $|OO'_m| = |OO_m|$ можно вычислить (результат получен в задаче 2.1), угол между векторами тоже можно посчитать как $\delta\varphi + \pi(1 - m)/2$.

4.1 На дифракционную решетку (ширина щели b , период решетки d , число щелей N) нормально падает плоская монохроматическая волна. Дифракционная картина наблюдается в фокальной плоскости линзы. Если число щелей N увеличить в 2 раза, а ширину щелей b уменьшить в 4 раза (d и λ не изменяются), то интенсивность в центре дифракционной картины...

$$\frac{I_2(0)}{I_1(0)} = \frac{Cb_2^2 N_2^2}{Cb_1^2 N_1^2} = \frac{Cb^2 (2N)^2}{C(4b)^2 N^2} = \frac{4}{16} = \frac{1}{4}$$

Ответ: интенсивность в центре дифракционной картины уменьшится в 4 раза.

4.2 На дифракционную решетку нормально падает плоская монохроматическая волна. Дифракционная картина наблюдается в фокальной плоскости линзы. Если число щелей N увеличить в 2 раза, а остальные параметры не менять, то как изменится число добавочных интерференционных минимумов и максимумов между главными интерференционными максимумами?

Ответ: число добавочных минимумов между главными интерференционными максимумами изменится с $N - 1$ до $2N - 1$, а количество добавочных максимумов с $N - 2$ до $2N - 2$.

Раздел 5. Дифракция Фраунгофера – 2.

5.1 Плоская монохроматическая волна с длиной волны λ нормально падает на дифракционную решетку (ширина щели $b = 50$ мкм, период решетки $d = 100$ мкм). Дифракционная картина наблюдается в фокальной плоскости линзы. Чему равна длина волны λ , если угол дифракции для главного максимума второго порядка равен $\theta = 0,02$ радиан?

Записывая выражения для угла главного интерференционного максимума m -го порядка (см. в разделе 4) будем иметь:

$$\sin \theta_m = m \frac{\lambda}{d}$$

$$\sin \theta = 2 \frac{\lambda}{d} \Rightarrow \lambda = \frac{1}{2} d \sin \theta = \frac{1}{2} \cdot 100 \text{ мкм} \cdot \sin 0,02 \approx 1 \text{ мкм}$$

Ответ: $\lambda \approx 1$ мкм.

5.2 Плоская монохроматическая волна нормально падает на дифракционную решетку. Дифракционная картина наблюдается в фокальной плоскости линзы. Углы дифракции малы. Если период решетки d увеличить в 2 раза, то расстояние между главными максимумами нулевого и первого порядка. . .

Расстояние от m -го главного интерференционного максимума до главной оптической оси:

$$x_m = F \operatorname{tg} \varphi_m \approx F \sin \varphi_m = F m \frac{\lambda}{d}$$

Тогда расстояние между нулевым и первым максимумом:

$$\Delta x = x_1 - x_0 = F \frac{\lambda}{d}$$

Если период d увеличить в 2 раза, то:

$$\Delta x_2 \div \Delta x_1 = F \frac{\lambda}{2d} \div F \frac{\lambda}{d} = \frac{1}{2}$$

Ответ: расстояние уменьшится в два раза.

Раздел 6. Спектральные приборы.

Угловая и линейная дисперсия прибора D_φ и D_l , разрешающая способность R , угловая ширина дифракционного максимума $\Delta\varphi_m$ и область свободной дисперсии $\Delta\lambda$:

$$D_\varphi = \frac{d\varphi}{d\lambda} \quad D_l = \frac{dl}{d\lambda} \quad R = \frac{\lambda}{\delta\lambda} \quad \Delta\varphi_m \approx d\varphi_m \quad \Delta\lambda = \frac{\lambda}{m}$$

Для дифракционной решетки из условия максимума $d \sin \varphi_m = m\lambda$:

$$D_\varphi = \frac{m}{d \cos \varphi_m} \quad R = mN \quad \Delta\varphi_m = \frac{\lambda}{Nd \cos \varphi_m} \quad \Delta\lambda = \frac{\lambda}{m}$$

Для интерферометра Фабри-Перо из условия максимума $2h \cos \theta_m = m\lambda$:

$$D_\varphi = \frac{m}{d \sin \theta_m} \quad R = mF \quad \Delta\theta_m = \frac{\lambda(1-R)}{2\pi h \sin \theta_m \sqrt{R}} \quad \Delta\lambda = \frac{\lambda^2}{2h}$$

6.1 Монохроматическая волна с длиной волны $\lambda = 0,6$ мкм падает на дифракционную решетку, имеющую $n = 200$ штрихов на миллиметр. Найти угловую дисперсию решетки в третьем порядке.

$$d \sin \varphi_m = m\lambda \Rightarrow \cos \varphi_m = \sqrt{1 - \frac{m^2 \lambda^2}{d^2}} = \sqrt{1 - m^2 \lambda^2 n^2}$$

$$D_\varphi = \frac{m}{d \cos \varphi_m} = \frac{mn}{\sqrt{1 - m^2 \lambda^2 n^2}} = \frac{3 \cdot 200 \text{ мм}^{-1}}{\sqrt{1 - 3^2 \cdot (0,6 \text{ мкм})^2 \cdot (200 \text{ мм}^{-1})^2}} = \frac{3 \cdot 200 \cdot 10^3 \text{ м}^{-1}}{\sqrt{1 - 9 \cdot (0,6 \cdot 10^{-6})^2 \cdot (200 \cdot 10^3)^2}} \approx 6,43 \cdot 10^5 \text{ м}^{-1}$$

Ответ: $D_\varphi = \frac{mn}{\sqrt{1 - m^2 \lambda^2 n^2}} \approx 6,43 \cdot 10^5 \text{ м}^{-1} \approx 0,643 \text{ мкм}^{-1}$.

6.2 Монохроматическая волна с длиной волны $\lambda = 0,6$ мкм падает на дифракционную решетку шириной $L = 6,4$ мм, имеющую $n = 200$ штрихов на миллиметр. Найти ширину дифракционного максимума третьего порядка.

$$d \sin \varphi_m = m\lambda \Rightarrow \cos \varphi_m = \sqrt{1 - \frac{m^2 \lambda^2}{d^2}} = \sqrt{1 - m^2 \lambda^2 n^2}$$

$$\Delta \varphi_m = \frac{\lambda}{Nd \cos \varphi_m} = \frac{\lambda}{L \sqrt{1 - m^2 \lambda^2 n^2}} = \frac{0,6 \text{ мкм}}{6,4 \text{ мм} \sqrt{1 - 3^2 \cdot (0,6 \text{ мкм})^2 \cdot (200 \text{ мм}^{-1})^2}} = \frac{0,6/6,4 \cdot 10^{-3}}{\sqrt{1 - 9 \cdot (0,6 \cdot 10^{-6})^2 \cdot (200 \cdot 10^3)^2}} \approx 10^{-4}$$

Ответ: $\Delta \varphi_m = \frac{\lambda}{L \sqrt{1 - m^2 \lambda^2 n^2}} \approx 10^{-4}$ радиан.

Раздел 7. Фазовая и групповая скорости.

Выражение для фазовой и групповой скоростей v_ϕ и u_Γ :

$$v_\phi = \frac{\omega}{k} = \frac{c}{n} \quad u_\Gamma = \frac{d\omega}{dk}$$

Производя простые математические операции, получаем формулы Рэлея:

$$u_\Gamma = \frac{d}{dk} (v_\phi k) = k \frac{dv_\phi}{dk} + v_\phi = \left[k = \frac{2\pi}{\lambda} \text{ и } dk = -\frac{2\pi}{\lambda^2} d\lambda \right] = \frac{2\pi}{\lambda} \frac{dv_\phi}{-\frac{2\pi}{\lambda^2} d\lambda} + v_\phi = v_\phi - \lambda \frac{dv_\phi}{d\lambda}$$

$$u_\Gamma = v_\phi - \lambda \frac{d}{d\lambda} \left(\frac{c}{n} \right) = v_\phi + \lambda \frac{c}{n^2} \frac{dn}{d\lambda} = v_\phi \left(1 + \frac{\lambda}{n} \frac{dn}{d\lambda} \right)$$

7.1 Закон дисперсии электромагнитной волны в некоторой среде задается соотношением $\omega(\lambda) = A\lambda^4$, где A – константа. Найти модуль отношения фазовой скорости к групповой v_ϕ/u_Γ в этой среде.

Преобразуем зависимость $\omega(\lambda)$ в $\omega(k)$, учитывая $k = 2\pi/\lambda$:

$$\omega(k) = A\lambda^4 = 16\pi^4 A k^{-4}$$

Теперь вычислим скорости и их отношение:

$$v_\phi = \frac{\omega}{k} = 16\pi^4 A k^{-5} \quad u_\Gamma = \frac{d\omega}{dk} = -64\pi^4 A k^{-5} \quad |v_\phi/u_\Gamma| = \frac{16}{64} = \frac{1}{4}$$

Ответ: $|v_\phi/u_\Gamma| = 1/4$.

7.2 Закон дисперсии электромагнитной волны в некоторой среде задается соотношением $\omega(k) = Ak^3$, где A – константа. Если для некоторого значения k_0 групповая скорость $u_\Gamma(k_0) = v_0$, то для $k = 3k_0$ групповая скорость $u_\Gamma(3k_0) = \dots$

$$u_\Gamma(k) = \frac{d\omega}{dk} = 3Ak^2$$

$$u_\Gamma(k_0) = 3Ak_0^2 = v_0 \quad u_\Gamma(3k_0) = 3A \cdot (3k_0)^2 = 9v_0$$

Ответ: $u_\Gamma(3k_0) = 9v_0$.

7.3 Найти связь групповой u_Γ и фазовой v_ϕ скоростей, а также закон дисперсии $\omega(k)$, если $v_\phi(\lambda) = a\lambda^{-2}$.

$$u_\Gamma = v_\phi - \lambda \frac{dv_\phi}{d\lambda} = a\lambda^{-2} + 2\lambda \cdot a\lambda^{-3} = 3a\lambda^{-2} = 3v_\phi$$

$$v_\phi = a\lambda^{-2} = \frac{\omega}{k} \Rightarrow \omega(k) = ka\lambda^{-2} = \left[k = \frac{2\pi}{\lambda} \Rightarrow \lambda = \frac{2\pi}{k} \right] = ka \frac{k^2}{4\pi^2} = \frac{a}{4\pi^2} k^3$$

Ответ: $u_\Gamma = 3v_\phi$ и $\omega(k) = \frac{a}{4\pi^2} k^3$.

Раздел 8. Отражение на границе сред.

Как известно, световая электромагнитная волна – поперечная. Это означает, что колебания электрических и магнитных полей с некоторыми амплитудами напряженностей \vec{E} и \vec{H} происходят в плоскостях, причём взаимно перпендикулярных друг другу и одновременно перпендикулярных направлению распространения волны. Для описания явлений отражении волн на границе раздела двух сред, компоненту \vec{E} принято раскладывать по базису² двух векторов \vec{E}_p и \vec{E}_s – лежащих в плоскости падения и в плоскости, перпендикулярной плоскости падения, соответственно.

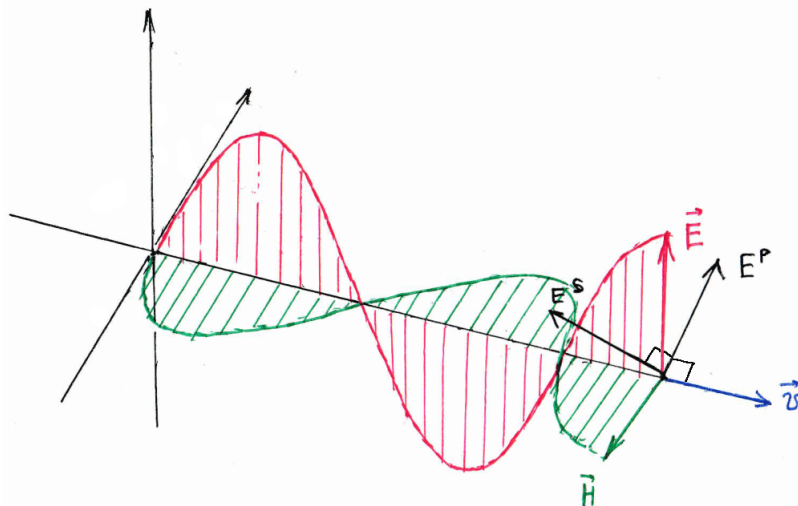


Рис. 6. Световая электромагнитная волна.

Если волна содержит компоненту только по \vec{E}_p , то говорят, что она поляризована в плоскости падения. Если же волна имеет компоненту только по \vec{E}_s , то говорят, что она поляризована в плоскости, перпендикулярной плоскости падения. Общее правило таково: при падении волны на границу раздела двух сред отражённая и прошедшая волна поляризованны так же, как и падающая³. Но при падении под углом Брюстера (углом полной поляризации отраженного света) у отражённой волны пропадает компонента по \vec{E}_p .

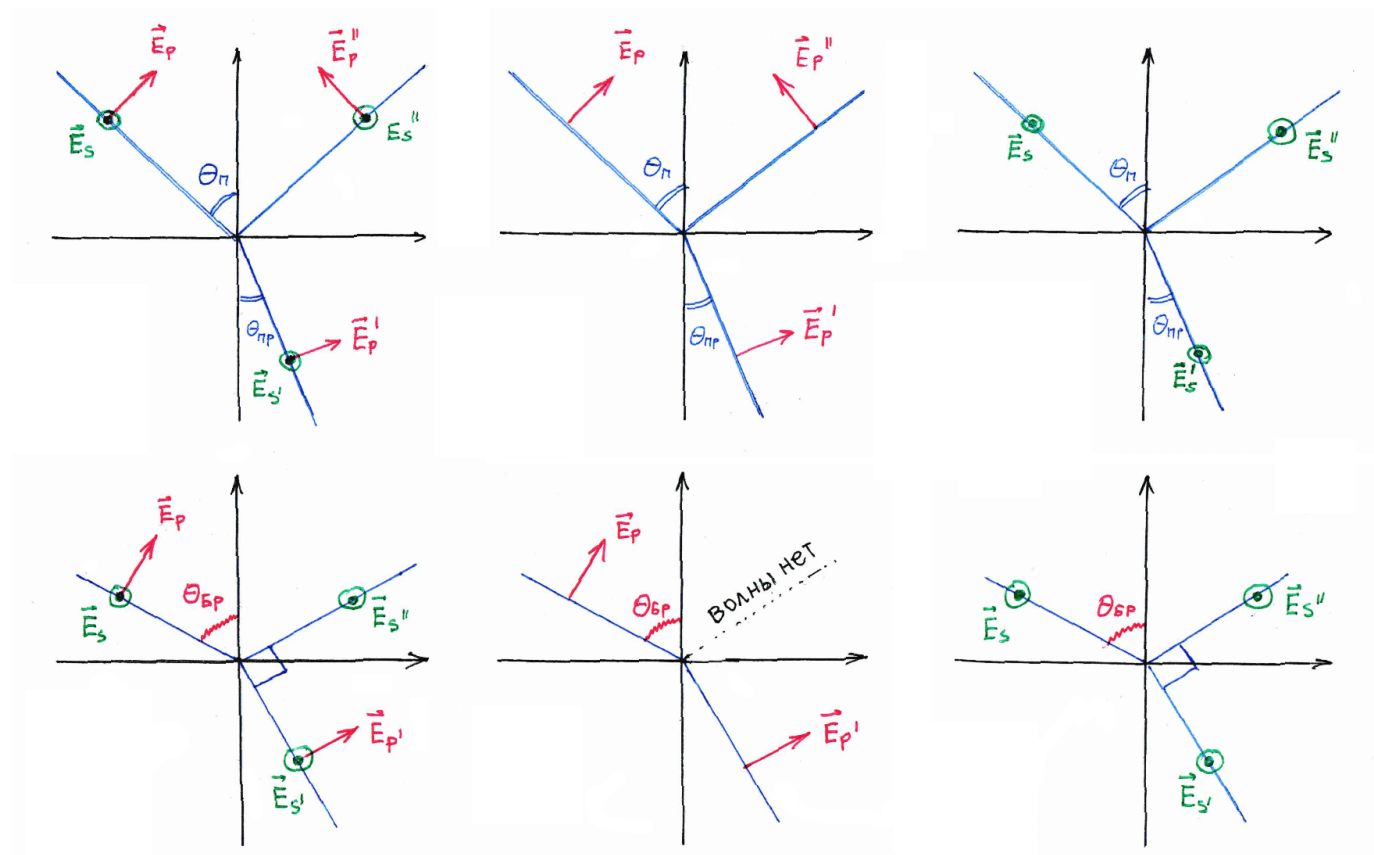


Рис. 7. Отражение на границе сред и поляризация.

²Несмотря на то, что пространство трёхмерное, базис из двух векторов, перпендикулярных направлению распространения волны, подойдёт, так как колебаний вдоль направления распространения волны нету.

³Вообще говоря, модульные значения при \vec{E}_p и \vec{E}_s меняются. Гарантируется лишь, что если у падающей не под углом Брюстера волны при \vec{E}_p или \vec{E}_s был ненулевой коэффициент, то у отражённой и преломлённой также будет ненулевой коэффициент (если был ноль, то и останется ноль). Для точного вычисления отношения этих коэффициентов необходимо пользоваться формулами Френеля.

Таким образом, при падении под углом Брюстера волны, поляризованной в плоскости падения, отражённой волны не будет вовсе, а при падении под углом Брюстера любой другой волны, отражённая волна будет поляризована в плоскости, перпендикулярной плоскости падения. Отсюда получаем, что при падении под углом Брюстера отражённый и преломлённый лучи взаимно перпендикулярны, а тангенс угла Брюстера:

$$\operatorname{tg} \alpha_{\text{Бр}} = \frac{n_2}{n_1}$$

Также не следует забывать про угол полного внутреннего отражения $\alpha_{\text{Кр}}$ – угол, при падении из оптически более плотной в оптически менее плотную среду ($n_1 > n_2$) под которым или под большим углом ($\alpha \geq \alpha_{\text{Кр}}$) нет преломлённого луча.

$$\sin \alpha_{\text{Кр}} = \frac{n_2}{n_1}$$

8.1 Линейно поляризованная волна естественного света падает под углом Брюстера на границу вакуум-диэлектрик, при этом плоскость поляризации перпендикулярна плоскости падения. Каково состояние поляризации прошедшей и отражённой волн?

Ответ: обе волны будут поляризованы в плоскости, перпендикулярной плоскости падения. Причём это выполняется для любого угла, а не только угла Брюстера (правые картинки на рис. 7).

8.2 Линейно поляризованная волна естественного света падает под углом Брюстера на границу диэлектрик-вакуум, при этом плоскость поляризации перпендикулярна плоскости падения. Каково состояние поляризации прошедшей и отражённой волн?

Ответ: обе волны будут поляризованы в плоскости, перпендикулярной плоскости падения. Причём это выполняется для любого угла, меньшего угла полного внутреннего отражения (тогда не было бы прошедшей волны, так как $n_1 = \sqrt{\varepsilon} > n_2 = 1$). Для угла, большего угла полного внутреннего отражения, отражённая волна поляризована в плоскости, перпендикулярной плоскости падения, а прошедшей волны нету.

8.3 Линейно поляризованная волна естественного света падает под углом Брюстера на границу вакуум-диэлектрик, при этом плоскость поляризации совпадает плоскостью падения. Каково состояние поляризации прошедшей и отражённой волн?

Ответ: прошедшая волна поляризована в плоскости падения, а отражённой волны нет (средняя картинка снизу на рис. 7).

8.4 Пучок естественного света падает на границу двух сред под углом Брюстера $\alpha_{\text{Бр}} = 30^\circ$. Найти угол преломления.

$$\operatorname{tg} \alpha_{\text{Бр}} = \frac{n_2}{n_1} \quad n_1 \sin \alpha_{\text{Бр}} = n_2 \sin \beta$$

$$\sin \beta = \frac{n_1}{n_2} \sin \alpha_{\text{Бр}} = \sin \alpha_{\text{Бр}} \operatorname{ctg} \alpha_{\text{Бр}} = \cos \alpha_{\text{Бр}} = \sin (90^\circ - \alpha_{\text{Бр}})$$

$$\beta = 90^\circ - \alpha_{\text{Бр}} = 90^\circ - 30^\circ = 60^\circ$$

Таким образом, мы получили, что при падении под углом Брюстера, отражённый и преломлённый лучи взаимно перпендикулярны. Этим можно было воспользоваться сразу и получить:

$$\alpha_{\text{Бр}} + \beta = 90^\circ \Rightarrow \beta = 90^\circ - \alpha_{\text{Бр}} = 90^\circ - 30^\circ = 60^\circ$$

Ответ: $\beta = 60^\circ$.

Раздел 9. Интерференция поляризованного света.

Разность хода и разность фаз в анизотропных средах:

$$\Delta = (n_e - n_o)d \quad \delta\varphi = \frac{2\pi}{\lambda}(n_e - n_o)d$$

Разность хода и разность фаз для пластинки $\lambda/2$:

$$\Delta = \frac{\lambda}{2} + \lambda m \quad \delta\varphi = \pi + 2\pi m$$

Разность хода и разность фаз для пластинки $\lambda/4$:

$$\Delta = \frac{\lambda}{4} + \lambda \frac{m}{2} \quad \delta\varphi = \frac{\pi}{2} + \pi m$$

Интенсивность прошедшего света:

$$I = I_0 \left(\cos^2(\alpha - \beta) - \sin^2 2\alpha \cdot \sin^2 2\beta \cdot \sin^2 \frac{\delta\varphi}{2} \right)$$

Если $\alpha - \beta = \frac{\pi}{2}$, то есть поляризатор и анализатор скрещены:

$$I = I_0 \cdot \sin^2 2\alpha \cdot \sin^2 \frac{\delta\varphi}{2}$$

Если $\alpha = \beta$, то есть поляризатор и анализатор параллельны:

$$I = I_0 \left(1 - \sin^2 2\alpha \cdot \sin^2 \frac{\delta\varphi}{2} \right)$$

9.1 Монохроматическая волна естественного света с интенсивностью $I_0 = 40$ мВт/см² падает на систему, состоящую из двух скрещенных идеальных поляризаторов. Между ними помещают кристаллическую пластинку $\lambda/4$. Какое максимальное значение интенсивности на выходе можно получить, вращая пластинку?

$$I = I_0 \cdot \sin^2 2\alpha \cdot \sin^2 \frac{\delta\varphi}{2}$$

$$I_{\max} = I_0 \cdot 1 \cdot \sin^2 \frac{\delta\varphi}{2} = I_0 \cdot \sin^2 \left(\frac{\pi}{4} + m \frac{\pi}{2} \right) = \frac{I_0}{2} = 20 \text{ мВт/см}^2$$

Ответ: $I_{\max} = \frac{I_0}{2} = 20 \text{ мВт/см}^2$.

9.2 Монохроматическая волна естественного света с интенсивностью $I_0 = 20$ мВт/см² падает на систему, состоящую из двух скрещенных идеальных поляризаторов. Между ними помещают кристаллическую пластинку $\lambda/4$. Какое минимальное значение интенсивности на выходе можно получить, вращая пластинку?

$$I = I_0 \cdot \sin^2 2\alpha \cdot \sin^2 \frac{\delta\varphi}{2}$$

$$I_{\min} = I_0 \cdot 0 \cdot \sin^2 \frac{\delta\varphi}{2} = 0$$

Ответ: $I_{\min} = 0 \text{ мВт/см}^2$.

Раздел 10. Поляризация света.

Степень поляризации:

$$P = \frac{I_{\max} - I_{\min}}{I_{\max} + I_{\min}}$$

Уравнение бегущей волны в общем виде:

$$\psi(\vec{r}, t) = \psi_0 e^{i(\vec{k} \cdot \vec{r} - \omega t + \varphi_0)}$$

В случае распространения бегущей волны вдоль оси z , её можно переписать покомпонентно как:

$$\begin{cases} E_x = A_x \sin(\omega t - kz + \varphi_x) \\ E_y = A_y \sin(\omega t - kz + \varphi_y) \end{cases} \quad \text{или} \quad \begin{cases} E_x = A_x \cos(\omega t - kz + \varphi_x) \\ E_y = A_y \cos(\omega t - kz + \varphi_y) \end{cases}$$

При этом разность фаз между компонентами по x и y :

$$\delta\varphi = \varphi_x - \varphi_y$$

Если $\delta\varphi = 0$ или π , то это линейная поляризация. Если $\delta\varphi = \pm \frac{\pi}{2}$, то это эллиптическая поляризация. В частном случае, если $\delta\varphi = \pm \frac{\pi}{2}$ и $A_x = A_y$, то это круговая поляризация. Если $\delta\varphi > 0$, то при распространении волны векторы \vec{E} и \vec{H} вращаются в плоскости, перпендикулярной направлению распространения, против часовой стрелки (говорят, что это левая поляризация), а если $\delta\varphi < 0$, то \vec{E} и \vec{H} вращаются по часовой стрелки (говорят, что это правая поляризация).

10.1 Частично поляризованный свет анализируется с помощью идеального поляризатора. При вращении поляризатора было найдено, что отношение максимальной интенсивности к минимальной равно 3. Чему равна степень поляризации света?

$$P = \frac{I_{\max} - I_{\min}}{I_{\max} + I_{\min}} = \frac{I_{\max}/I_{\min} - 1}{I_{\max}/I_{\min} + 1} = \frac{3 - 1}{3 + 1} = \frac{2}{4} = \frac{1}{2}$$

Ответ: $P = \frac{1}{2}$.

10.2 Компоненты вектора напряжённости в электромагнитной волне изменяются по закону $E_x = A_0 \sin(\omega t - kz)$ и $E_y = 2A_0 \sin(\omega t - kz)$. Укажите состояние поляризации и направление распространения волны.

Так как $\delta\varphi = 0$, то это линейная поляризация. Так как компонента $\vec{k} \cdot \vec{r} = kz$ входит в уравнение со знаком минус, то волна распространяется по оси z в положительном направлении.

Ответ: линейная поляризация, волна распространяется вдоль оси z в положительном направлении.

10.3 Компоненты вектора напряжённости в электромагнитной волне изменяются по закону $E_x = A_0 \sin(\omega t + kz)$ и $E_y = 2A_0 \cos(\omega t + kz)$. Укажите состояние поляризации и направление распространения волны.

Приведём уравнение компонент бегущей волны к каноническому виду:

$$E_x = A_0 \sin(\omega t + kz) = A_0 \cos\left(\frac{\pi}{2} - \omega t - kz\right) = A_0 \cos\left(\omega t + kz - \frac{\pi}{2}\right)$$

$$\begin{cases} E_x = A_0 \cos\left(\omega t + kz - \frac{\pi}{2}\right) \\ E_y = 2A_0 \cos(\omega t + kz) \end{cases}$$

Так как $\delta\varphi = -\pi/2$, а $A_x \neq A_y$, то это эллиптическая поляризация. Так как компонента $\vec{k} \cdot \vec{r} = kz$ входит в уравнение со знаком плюс, то волна распространяется по оси z в отрицательном направлении.

Ответ: эллиптическая поляризация, волна распространяется вдоль оси z в отрицательном направлении.

Раздел 11. Анизотропные пластины – 1.

11.1 Анизотропная пластинка вырезана параллельно оптической оси из материала с разностью показателей преломления $n_e - n_o = 0,02$. Для двух близких длин волн света $\lambda_1 = 0,574$ мкм и $\lambda_2 = 0,602$ мкм она будет полуволновой пластинкой (для остальных длин волн из интервала от λ_1 до λ_2 это утверждение несправедливо). Какова толщина пластины?

Запишем разность хода для полуволновой пластины и анизотропной пластинки в общем виде и приравняем их в двух случаях. Так как для остальных длин волн из интервала от λ_1 до λ_2 она не будет полуволновой, то $|m_1 - m_2| = 1$. Но так как $\lambda_1 < \lambda_2$, то пусть $m_1 = m + 1$ и $m_2 = m$:

$$\begin{cases} \Delta_1 = \frac{\lambda_1}{2} + \lambda_1(m+1) = (n_e - n_o)d \\ \Delta_2 = \frac{\lambda_2}{2} + \lambda_2 m = (n_e - n_o)d \end{cases} \Rightarrow \begin{cases} \lambda_1 \left(\frac{3}{2} + m\right) = (n_e - n_o)d \\ \lambda_2 \left(\frac{1}{2} + m\right) = (n_e - n_o)d \end{cases}$$

$$\lambda_1 \left(\frac{3}{2} + m\right) = \lambda_2 \left(\frac{1}{2} + m\right) \Rightarrow \frac{3}{2}\lambda_1 - \frac{1}{2}\lambda_2 = (\lambda_2 - \lambda_1)m \Rightarrow m = \frac{3\lambda_1 - \lambda_2}{2(\lambda_2 - \lambda_1)}$$

$$d = \frac{\lambda_1}{n_e - n_o} \left(\frac{3}{2} + m\right) = \frac{\lambda_1}{n_e - n_o} \left(\frac{3}{2} + \frac{3\lambda_1 - \lambda_2}{2(\lambda_2 - \lambda_1)}\right) = \frac{1}{(n_e - n_o)} \frac{\lambda_1 \lambda_2}{\lambda_2 - \lambda_1} = \frac{1}{0,02} \frac{574 \cdot 602}{602 - 574} \text{ нм} \approx 617050 \text{ нм} \approx 0,6 \text{ мм}$$

Ответ: $d = \frac{1}{(n_e - n_o)} \frac{\lambda_1 \lambda_2}{\lambda_2 - \lambda_1} \approx 0,6 \text{ мм}.$

Раздел 12. Анизотропные пластины – 2.

Пластинка $\lambda/4$, оси которой ориентированы параллельно осям поляризации, может преобразовывать линейно поляризованный свет в эллиптически поляризованный и обратно.

Пластинка $\lambda/4$, оси которой ориентированы под углом $\beta = \pm 45^\circ$ к осям поляризации, может преобразовывать линейно поляризованный свет в свет с круговой поляризацией (горизонтально-поляризованный в право-поляризованный, вертикально-поляризованный в лево-поляризованный) и обратно.

Пластинка $\lambda/2$, оси которой ориентированы под углом $\beta = \pm 45^\circ$ к осям поляризации, может преобразовывать линейно поляризованный свет в линейно поляризованный свет с плоскостью поляризации, повернутой на 90° градусов относительно плоскости поляризации падающей волны и обратно.

12.1 Монохроматическая волна с эллиптической поляризацией падает на пластину $\lambda/4$. Укажите возможные состояния поляризации вышедшего излучения.

Ответ: может преобразовать в линейно или эллиптически поляризованный свет в зависимости от ориентации.

Раздел 13. Интерференция с помощью билинзы.

13.1 Из линзы с фокусным расстоянием $f = 0,4$ м вырезали центральную часть шириной $h = 2$ мм, и получившиеся половинки сдвинули до соприкосновения. На оси симметрии получившейся билинзы на расстоянии $a = 0,1$ м от нее поместили точечный монохроматический источник света (длина волны $\lambda = 0,6$ мкм). С другой стороны от билинзы на расстоянии $b = 2$ м поместили экран для наблюдения интерференционной картины. Найти расстояние между интерференционными полосами.

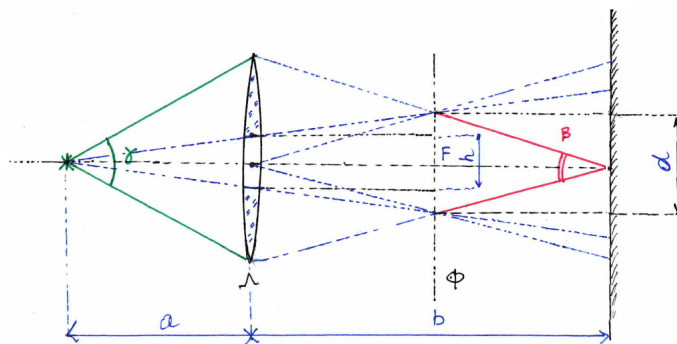


Рис. 8. Ход лучей при интерференции с помощью билинзы.

Из геометрических построений можно получить выражение для разности хода в билинзе:

$$\Delta = \frac{xha}{ab - f(a + b)}$$

Записывая условие максимума для двух соседних интерференционных полос, находим расстояние между ними:

$$\begin{cases} \Delta_1 = \frac{x_1 ha}{ab - f(a + b)} = m\lambda \\ \Delta_2 = \frac{x_2 ha}{ab - f(a + b)} = (m + 1)\lambda \end{cases}$$

$$\Delta x = |x_2 - x_1| = \frac{\lambda}{ha} |ab - f(a + b)| = \frac{\lambda}{h} \left| b - f \frac{a + b}{a} \right|$$

$$\Delta x = \frac{0,6 \text{ мкм}}{2 \text{ мм}} \left| 2 \text{ мм} - 0,4 \text{ м} \cdot \frac{0,1 \text{ м} + 2 \text{ м}}{0,1 \text{ м}} \right| \approx 2,5 \text{ мм}$$

Ответ: $\Delta x = \frac{\lambda}{h} \left| b - f \frac{a + b}{a} \right| \approx 2,5 \text{ мм}.$

13.2 Из линзы с фокусным расстоянием $f = 10$ см вырезали центральную часть шириной $h = 0,5$ см, и получившиеся половинки сдвинули до соприкосновения. На оси симметрии получившейся билинзы на расстоянии $a = 5$ см от нее поместили точечный монохроматический источник света (длина волны $\lambda = 0,5$ мкм). С другой стороны от билинзы на расстоянии $b = 15$ см поместили экран для наблюдения интерференционной картины. Сколько интерференционных полос наблюдается?

Найдём ширину интерференционной картины из подобных треугольников:

$$\frac{H}{b} = \frac{h/2}{a} \Rightarrow H = \frac{bh}{2a}$$

Теперь найдём число интерференционных полос:

$$N = \frac{H}{\Delta x} = \frac{h^2}{2a\lambda |1 - f/b - f/a|} = \frac{(0,5 \cdot 10^{-2})^2}{2 \cdot 5 \cdot 10^{-2} \cdot 0,5 \cdot 10^{-6} |1 - 10/15 - 10/5|} \approx 300$$

Ответ: $N = \frac{h^2}{2a\lambda |1 - f/b - f/a|} \approx 300.$

13.3 Из линзы с фокусным расстоянием $f = 50$ см вырезали центральную часть шириной h , и получившиеся половинки сдвинули до соприкосновения. По одну сторону в фокус линзы помещён точечный монохроматический источник света (длина волны $\lambda = 0,6$ мкм). С противоположенной стороны линзы помещён экран, на котором наблюдаются полосы интерференции. Расстояние между соседними светлыми полосами $\Delta x = 0,5$ мм и не изменяется при перемещении экрана вдоль оптической оси. Найти h .

$$a = f \quad h = \frac{\lambda}{h} \left| b - f \frac{a + b}{a} \right| = \frac{\lambda}{h} |b - f - b| = \frac{\lambda f}{\Delta x} = \frac{0,6 \cdot 10^{-6} \cdot 0,5}{0,5 \cdot 10^{-3}} \approx 0,6 \text{ мм}$$

Ответ: $h = \frac{\lambda f}{\Delta x} \approx 0,6 \text{ мм}.$

Раздел 14. Бегущие и стоячие волны.

14.1 В пространстве установилась стоячая электромагнитная волна, магнитная компонента которой:

$$\vec{B} = \vec{e}_y B_0 \cos(\omega t) \sin(kx)$$

Учитывая, что $E_0 > 0$ и $B_0 > 0$, указать закон изменения соответствующей электрической компоненты \vec{E} .

Для решения данной задачи необходимо воспользоваться следующим уравнением Максвелла и следующими линейными материальными уравнениями (в случае, если в задаче фигурируют \vec{D} или \vec{H}):

$$\text{rot } \vec{E} = -\frac{\partial \vec{B}}{\partial t} \quad \vec{D} = \varepsilon \varepsilon_0 \vec{E} \quad \vec{B} = \mu \mu_0 \vec{H}$$

Пусть $\vec{E} = \vec{e}_x E_x + \vec{e}_y E_y + \vec{e}_z E_z$, тогда:

$$\begin{aligned} \text{rot } \vec{E} &= \begin{vmatrix} \vec{e}_x & \vec{e}_y & \vec{e}_z \\ \frac{\partial}{\partial x} & \frac{\partial}{\partial y} & \frac{\partial}{\partial z} \\ E_x & E_y & E_z \end{vmatrix} = \vec{e}_x \left(\frac{\partial E_z}{\partial y} - \frac{\partial E_y}{\partial z} \right) + \vec{e}_y \left(\frac{\partial E_x}{\partial z} - \frac{\partial E_z}{\partial x} \right) + \vec{e}_z \left(\frac{\partial E_y}{\partial x} - \frac{\partial E_x}{\partial y} \right) = -\frac{\partial \vec{B}}{\partial t} = \\ &= -\frac{\partial}{\partial t} \vec{e}_y B_0 \cos(\omega t) \sin(kx) = \vec{e}_y B_0 \omega \sin(\omega t) \sin(kx) \end{aligned}$$

В силу единственности разложения по базису, выражения при \vec{e}_x , \vec{e}_y и \vec{e}_z должны быть равны. Таким образом получаем систему уравнений в частных производных:

$$\begin{cases} \frac{\partial E_z}{\partial y} - \frac{\partial E_y}{\partial z} = 0 \\ \frac{\partial E_x}{\partial z} - \frac{\partial E_z}{\partial x} = B_0 \omega \sin(\omega t) \sin(kx) \\ \frac{\partial E_y}{\partial x} - \frac{\partial E_x}{\partial y} = 0 \end{cases}$$

Следует также учесть, что световая электромагнитная волна – поперечная. Это означает, что $\vec{E} \perp \vec{B} \perp \vec{v}$, то есть направления колебания электрической и магнитной компонент, а также направление распространения волны должны быть взаимно перпендикулярны. В условии задачи $\vec{B} = \vec{e}_y f(x, t)$, то есть \vec{B} колеблется вдоль \vec{e}_y и распространяется вдоль \vec{e}_x . Тогда, очевидно, \vec{E} колеблется вдоль \vec{e}_z и распространяется вдоль \vec{e}_x . То есть $\vec{E} = \vec{e}_z f(x, t)$. Таким образом, из второго уравнения системы будем иметь:

$$\begin{aligned} -\frac{\partial E_z}{\partial x} &= B_0 \omega \sin(\omega t) \sin(kx) \\ \vec{E} &= -\vec{e}_z \int B_0 \omega \sin(\omega t) \sin(kx) dx = \vec{e}_z B_0 \frac{\omega}{k} \sin(\omega t) \cos(kx) \end{aligned}$$

Учитывая, что $k = 2\pi/\lambda$ и $\omega = 2\pi/T$, окончательно имеем:

$$\vec{E} = \vec{e}_z B_0 \frac{2\pi}{T} \frac{\lambda}{2\pi} \sin(\omega t) \cos(kx) = \vec{e}_z B_0 c \sin(\omega t) \cos(kx)$$

Ответ: $\vec{E} = \vec{e}_z B_0 c \sin(\omega t) \cos(kx)$.

14.2 В пространстве установилась бегущая электромагнитная волна, электрическая компонента которой:

$$\vec{E} = \vec{e}_x E_0 \sin(\omega t - kz)$$

Учитывая, что $E_0 > 0$ и $H_0 > 0$, указать закон изменения соответствующей магнитной компоненты \vec{H} .

Пусть $\vec{E} = \vec{e}_x E_x + \vec{e}_y 0 + \vec{e}_z 0 = \vec{e}_x E_x$, тогда:

$$\begin{aligned} \text{rot } \vec{E} &= \begin{vmatrix} \vec{e}_x & \vec{e}_y & \vec{e}_z \\ \frac{\partial}{\partial x} & \frac{\partial}{\partial y} & \frac{\partial}{\partial z} \\ E_x & 0 & 0 \end{vmatrix} = \vec{e}_y \frac{\partial E_x}{\partial z} - \vec{e}_z \frac{\partial E_x}{\partial y} = \vec{e}_y \frac{\partial}{\partial z} E_0 \sin(\omega t - kz) = -\vec{e}_y E_0 k \cos(\omega t - kz) = -\frac{\partial \vec{B}}{\partial t} \\ \vec{H} &= \frac{1}{\mu \mu_0} \vec{B} = \frac{1}{\mu \mu_0} \vec{e}_y \int E_0 k \cos(\omega t - kz) dz = \frac{1}{\mu \mu_0} \vec{e}_y E_0 \frac{k}{\omega} \sin(\omega t - kz) = \vec{e}_y \frac{E_0}{c \mu \mu_0} \sin(\omega t - kz) \end{aligned}$$

Ответ: $\vec{H} = \vec{e}_y \frac{E_0}{c \mu \mu_0} \sin(\omega t - kz)$.

Раздел 15. Преобразование Фурье.

Необходимо указать по формуле сигнала $f(t)$ его Фурье-образ $\hat{f}(i\omega)$ и спектральную плотность интенсивности $S(\omega)$ или наоборот. Как правило, просят указать качественную зависимость (выбрать картинку с графиком).

$$\hat{f}(i\omega) = \int_{-\infty}^{+\infty} f(t)e^{-i\omega t} dt \quad f(t) = \frac{1}{2\pi} \int_{-\infty}^{+\infty} \hat{f}(i\omega)e^{i\omega t} d\omega \quad S(\omega) = \frac{|\hat{f}(i\omega)|^2}{\pi\tau'} \quad I = \int_0^{+\infty} S(\omega) d\omega$$

15.1 Сигнал «экспонента»:

$$f(t) = \begin{cases} E_0 e^{-t/2\tau}, & t \geq 0 \\ 0, & t < 0 \end{cases} \quad \hat{f}(i\omega) = \int_{-\infty}^{+\infty} f(t)e^{-i\omega t} dt = \int_0^{+\infty} E_0 e^{-t(1/2\tau + i\omega)} dt = E_0 \frac{e^{-t(1/2\tau + i\omega)}}{-(1/2\tau + i\omega)} \Big|_0^{+\infty} = E_0 \frac{1/2\tau - i\omega}{1/4\tau^2 + \omega^2}$$

$$S(\omega) = \frac{|\hat{f}(i\omega)|^2}{\pi\tau'} = \frac{|\hat{f}(i\omega)|^2}{2\pi\tau} = \frac{E_0^2}{2\pi\tau} \left| \frac{1/2\tau - i\omega}{1/4\tau^2 + \omega^2} \right|^2 = \frac{E_0^2}{2\pi\tau} \frac{1/4\tau^2 + \omega^2}{(1/4\tau^2 + \omega^2)^2} = \frac{E_0^2}{2\pi\tau} \frac{1}{1/4\tau^2 + \omega^2} = E_0^2 \frac{1/2\pi\tau}{(1/2\tau)^2 + \omega^2}$$

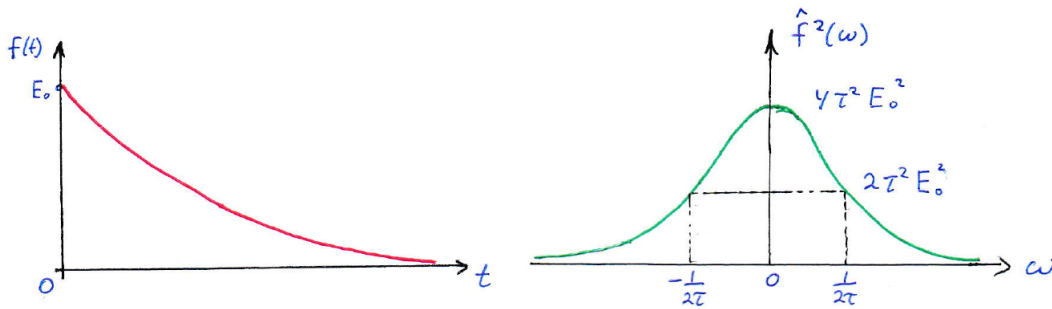


Рис. 9. График сигнала $f(t)$ (слева) и квадрата⁴ его фурье-образа $|\hat{f}(i\omega)|^2$ (справа).

Таким образом, $|\hat{f}(i\omega)|^2$ и $S(\omega)$ у сигнала экспоненты имеют вид функции Лоренца⁵.

15.2 Сигнал «модулированная экспонента»:

$$f(t) = \begin{cases} E_0 e^{-t/2\tau} \cos(\omega_0 t), & t \geq 0 \\ 0, & t < 0 \end{cases} \quad \hat{f}(i\omega) = \int_{-\infty}^{+\infty} f(t)e^{-i\omega t} dt = \int_0^{+\infty} E_0 e^{-t(1/2\tau + i\omega)} \cos(\omega_0 t) dt = \int_0^{+\infty} E_0 e^{-t(1/2\tau + i(\omega - \omega_0))} dt =$$

$$= E_0 \frac{e^{-t(1/2\tau + i(\omega - \omega_0))}}{-(1/2\tau + i(\omega - \omega_0))} \Big|_0^{+\infty} = E_0 \frac{1/2\tau - i(\omega - \omega_0)}{1/4\tau^2 + (\omega - \omega_0)^2} \quad S(\omega) = \frac{|\hat{f}(i\omega)|^2}{\pi\tau'} = \frac{|\hat{f}(i\omega)|^2}{2\pi\tau} = E_0^2 \frac{1/2\pi\tau}{(1/2\tau)^2 + (\omega - \omega_0)^2}$$

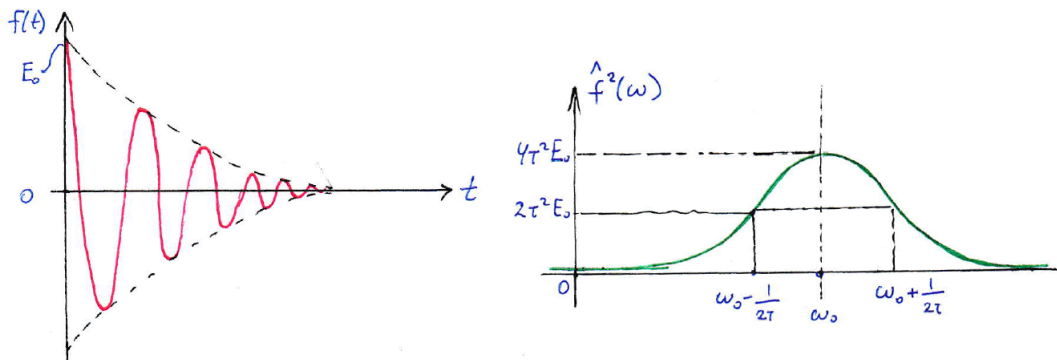


Рис. 10. График сигнала $f(t)$ (слева) и квадрата его фурье-образа $|\hat{f}(i\omega)|^2$ (справа).

Таким образом, $|\hat{f}(i\omega)|^2$ и $S(\omega)$ у сигнала модулированной экспоненты имеют вид функции Лоренца, смещённой на ω_0 .

Отметим, что при модулировании любого сигнала $f(t)$ функцией $\cos(\omega_0 t)$ её $|\hat{f}(i\omega)|^2$ и $S(\omega)$ будут как у исходной, только смещённые вправо на ω_0 .

$$f(t) \equiv \hat{f}(i\omega) \Rightarrow f(t) \cos(\omega_0 t) \equiv \hat{f}(i(\omega - \omega_0))$$

⁴Очевидно, качественно график спектральной плотности интенсивности $S(\omega)$ совпадает с графиком квадрата фурье-образа сигнала $|\hat{f}(i\omega)|^2$.

⁵Функция Лоренца (она же распределение Коши) имеет колоколообразный вид, но более «острая», чем функция Гаусса.

15.3 Сигнал «Гаусс-функция»:

$$\begin{aligned}
 f(t) &= E_0 e^{-at^2}, \quad a > 0 & \hat{f}(i\omega) &= \int_{-\infty}^{+\infty} f(t) e^{-i\omega t} dt = \hat{f}(i\omega) = \int_{-\infty}^{+\infty} E_0 e^{-at^2 - i\omega t} dt = \int_{-\infty}^{+\infty} E_0 \exp\left(-a\left[t^2 + \frac{i\omega}{a}t\right]\right) dt = \\
 &= \int_{-\infty}^{+\infty} E_0 \exp\left(-a\left[t^2 + 2\frac{i\omega}{2a}t + \frac{i^2\omega^2}{4a^2} - \frac{i^2\omega^2}{4a^2}\right]\right) dt = \int_{-\infty}^{+\infty} E_0 \exp\left(-a\left[t + \frac{i\omega}{2a}\right]^2 - \frac{\omega^2}{4a}\right) dt = \left[t + \frac{i\omega}{2a} = y\right] = \\
 &= E_0 e^{-\omega^2/4a} \int_{-\infty}^{+\infty} e^{-ay^2} dy = E_0 e^{-\omega^2/4a} \sqrt{\frac{\pi}{a}} & S(\omega) &= \frac{|\hat{f}(i\omega)|^2}{\pi\tau'} = \frac{E_0^2}{a\tau} e^{-\omega^2/2a}
 \end{aligned}$$

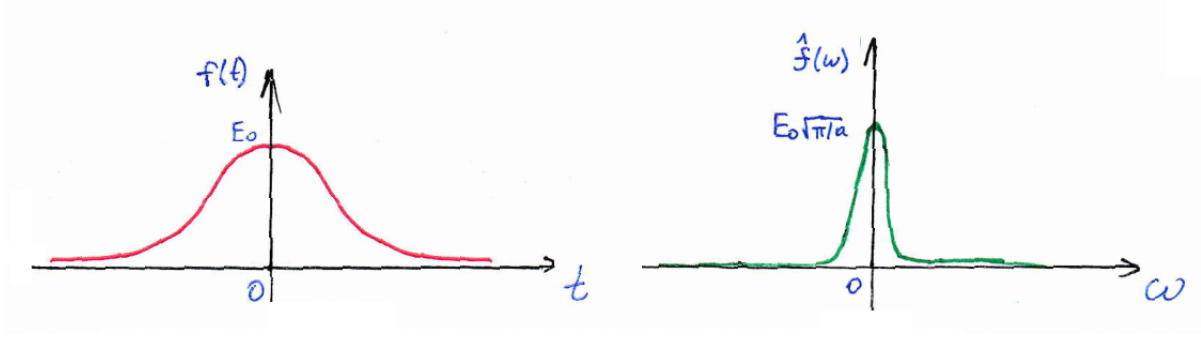


Рис. 11. График сигнала $f(t)$ (слева) и его фурье-образа $\hat{f}(i\omega)$ (справа).

Таким образом, Фурье-образ $\hat{f}(i\omega)$ у сигнала Гаусс-функции имеет тоже вид Гаусс-функции, а квадрат Фурье-образа $|\hat{f}(i\omega)|^2$ и спектральная плотность интенсивности $S(\omega)$ имеет вид квадрата Гаусс-функции.

15.4 Сигнал «модулированная Гаусс-функция»:

$$f(t) = E_0 e^{-at^2} \cos \omega_0 t, \quad a > 0 \quad \hat{f}(i\omega) = E_0 e^{-(\omega - \omega_0)^2/4a} \sqrt{\frac{\pi}{a}} \quad S(\omega) = \frac{E_0^2}{a\tau} e^{-(\omega - \omega_0)^2/2a}$$

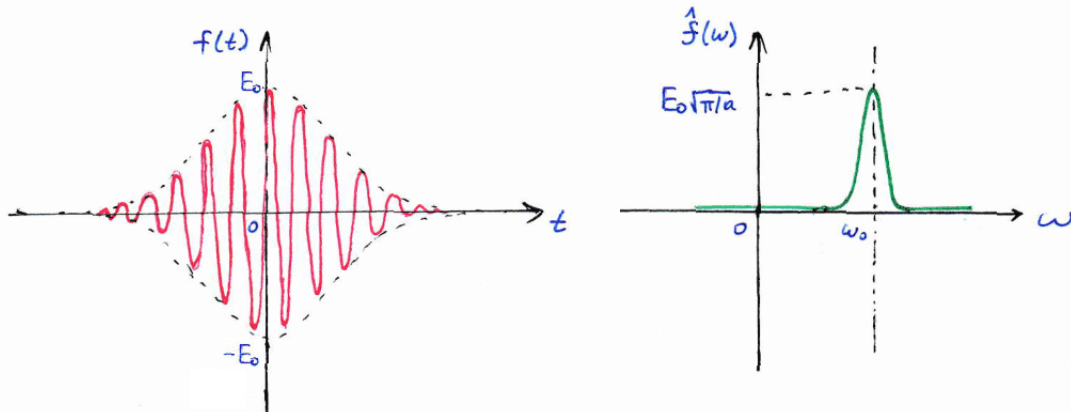


Рис. 12. График сигнала $f(t)$ (слева) и его фурье-образа $\hat{f}(i\omega)$ (справа).

Таким образом, Фурье-образ $\hat{f}(i\omega)$ у сигнала модулированной Гаусс-функции имеет тоже вид Гаусс-функции, смещённой на ω_0 , а квадрат Фурье-образа $|\hat{f}(i\omega)|^2$ и спектральная плотность интенсивности $S(\omega)$ имеет вид квадрата Гаусс-функции, смещённой на ω_0 .

15.5 Прямоугольный волновой пакет («ЦУГ»):

$$\begin{aligned}
 f(t) &= \begin{cases} E_0, & |t| \leq \tau/2 \\ 0, & |t| > \tau/2 \end{cases} & \hat{f}(i\omega) &= \int_{-\infty}^{+\infty} f(t) e^{-i\omega t} dt = \int_{-\tau/2}^{+\tau/2} E_0 e^{-i\omega t} dt = E_0 \frac{e^{-i\omega\tau/2} - e^{i\omega\tau/2}}{-i\omega} = E_0 \frac{2 \sin(\omega\tau/2)}{\omega} = E_0 \tau \frac{\sin(\omega\tau/2)}{\omega\tau/2} = \\
 &= E_0 \tau \operatorname{sinc}\left(\omega \frac{\tau}{2}\right) & S(\omega) &= \frac{|\hat{f}(i\omega)|^2}{\pi\tau'} = \frac{E_0^2 \tau^2}{\pi} \operatorname{sinc}^2\left(\omega \frac{\tau}{2}\right)
 \end{aligned}$$

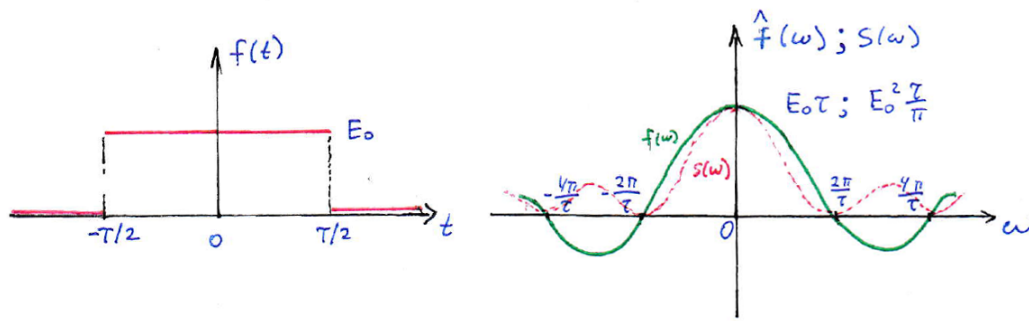


Рис. 13. График сигнала $f(t)$ (слева) и его фурье-образ $\hat{f}(i\omega)$ со спектр. плотностью интенсивности $S\omega$ (справа зелёным и красным соответственно).

Таким образом, Фурье-образ $\hat{f}(i\omega)$ у сигнала прямоугольного волнового пакета имеет вид «осьминога» (функция синкус), а его квадрат $|\hat{f}(i\omega)|^2$ и спектральная плотность интенсивности $S(\omega)$ имеют вид «кракена» (функция синкус в квадрате).

15.6 Прямоугольный волновой пакет («ЦУГ») с модуляцией:

$$f(t) = \begin{cases} E_0 \cos \omega_0 t & |t| \leq \tau/2 \\ 0, & |t| > \tau/2 \end{cases} \quad \hat{f}(i\omega) = E_0 \tau \operatorname{sinc} \left((\omega - \omega_0) \frac{\tau}{2} \right) \quad S(\omega) = \frac{E_0^2 \tau^2}{\pi} \operatorname{sinc}^2 \left((\omega - \omega_0) \frac{\tau}{2} \right)$$

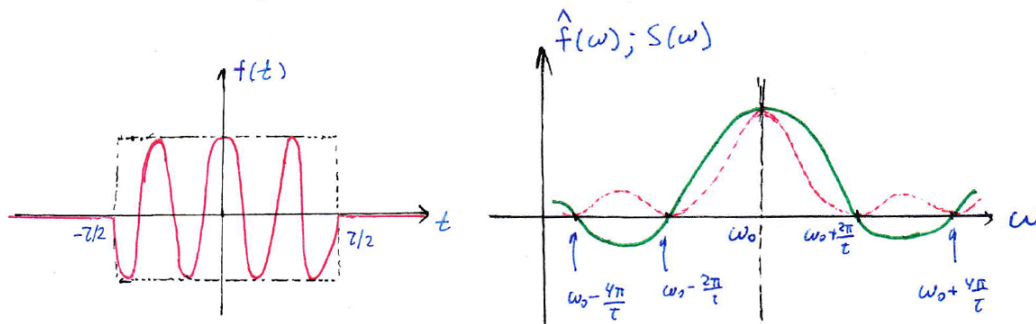


Рис. 14. График сигнала $f(t)$ (слева) и его фурье-образ $\hat{f}(i\omega)$ со спектр. плотностью интенсивности $S\omega$ (справа зелёным и красным соответственно).

Таким образом, Фурье-образ $\hat{f}(i\omega)$ у сигнала прямоугольного волнового пакета с модуляцией имеет вид смещённого на ω_0 «осьминога» (функция синкус), а его квадрат $|\hat{f}(i\omega)|^2$ и спектральная плотность интенсивности $S(\omega)$ имеют вид смещённого на ω_0 «кракена» (функция синкус в квадрате).

Раздел 16. Интерферометр Фабри-Перо.

Разность хода и разность фаз:

$$\Delta = 2h \cos \theta \quad \delta\varphi = k\Delta = \frac{4\pi h}{\lambda} \cos \theta$$

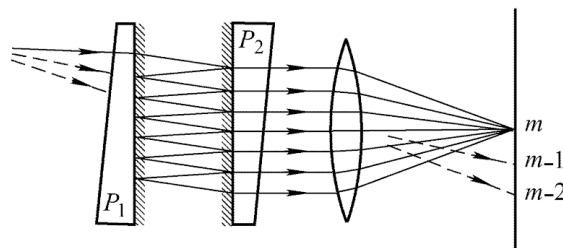


Рис. 15. Ход лучей в интерферометре Фабри-Перо.

Наблюдаемая интерференционная картина будет представлена в виде колец, номера которых не совпадают с номерами интерференционных максимумов. Записывая условие максимума интерференции и учитывая, что первому светловому кольцу соответствует максимальный порядок интерференции, находим порядок интерференции для n -го кольца⁶:

$$m_n = \left[\frac{2h}{\lambda} \right] - n$$

Отсюда, учитывая малость угла θ находим угол наклона и радиус n -го кольца:

$$\theta_n \approx \sqrt{n \frac{\lambda}{h}} \quad R_n \approx f \sqrt{n \frac{\lambda}{h}}$$

⁶Здесь $[2h/\lambda]$ – операция взятия целой части.

16.1 Излучение от точечного монохроматического источника света с длиной волны $\lambda = 0,5$ мкм падает на интерферометр Фабри-Перо (ИФП) с базой $h = 2$ мм. Интерференционную картину наблюдают за ИФП в фокальной плоскости линзы с фокусным расстоянием $f = 200$ мм, при этом в центре светлое пятно. Найти радиус пятого светлого кольца (в мм) и соответствующий ему порядок интерференции.

$$m_5 = \left[\frac{2h}{\lambda} \right] - 5 = \left[\frac{4000 \text{ мкм}}{0,5 \text{ мкм}} \right] - 5 = 7995$$

$$R_5 \approx f \sqrt{5 \frac{\lambda}{h}} \approx 200 \text{ мм} \cdot \sqrt{5 \cdot \frac{0,5 \text{ мкм}}{2000 \text{ мкм}}} \approx 7 \text{ мм}$$

Ответ: $R_5 = 7$ мм, а $m_5 = 7995$.

16.2 Излучение от точечного монохроматического источника света с длиной волны $\lambda = 0,5$ мкм падает на интерферометр Фабри-Перо (ИФП) с базой $h = 5$ мм. Интерференционную картину наблюдают за ИФП в фокальной плоскости линзы, при этом в центре светлое пятно, а радиус четвёртого светлого кольца $R_4 = 5$ мм. Найти фокусное расстояние линзы (в мм) и область свободной дисперсии $\Delta\lambda$.

$$R_4 \approx f \sqrt{4 \frac{\lambda}{h}} \Rightarrow f \approx R_4 \sqrt{\frac{h}{4\lambda}} \approx 5 \text{ мм} \cdot \sqrt{\frac{5 \text{ мм}}{4 \cdot 0,5 \text{ мкм}}} \approx 250 \text{ мм}$$

$$\Delta\lambda = \frac{\lambda^2}{2h} = \frac{(0,5 \text{ мкм})^2}{2 \cdot 5 \text{ мм}} = \frac{(0,5 \cdot 10^{-6})^2}{2 \cdot 5 \cdot 10^{-3}} \text{ м} \approx 0,025 \cdot 10^{-9} \text{ м} \approx 0,025 \text{ нм}$$

Ответ: $f \approx 250$ мм, а $\Delta\lambda \approx 0,025$ нм.

Список литературы для самостоятельной подготовки:

1. Информация к семинарам по оптике на [сайте](#) И. В. Митина.
2. Волновые процессы. Основные законы. И. Е. Иродов.
3. Записи [семинаров](#) по оптике В. А. Овчинкина.